

مطالعه ظاهر و خصوصیات عملکردی ژن اسکوالن سنتاز در بافت‌های مختلف سه مرحله نموی لاله واژگون با استفاده از qPCR

Functional properties and expression analysis of squalene synthase candidate gene in different Crown Imperia tissues, during three developmental stages using q-PCR

مهسا اصحابی^۱، بهروز شیران^{*۱}، رودابه راوش^۱، حسین فلاحتی^۲

۱- بهترتب دانشجوی کارشناسی ارشد، استاد، استادیار، گروه اصلاح نباتات و بیوتکنولوژی، دانشگاه شهرکرد، شهرکرد

۲- استادیار، دانشکده علوم، دانشگاه رازی کرمانشاه، کرمانشاه، ایران

Eshaghi M¹, Shiran B^{*1}, Ravash R¹, Fallahi H²

1- MSc Student, Professor, Assistant Professor, Department of Biotechnology and Plant Breeding, Shahrood University, Iran

2- Assistant Professor, Razi University, Kermanshah, Iran

* نویسنده مسئول مکاتبات، پست الکترونیکی:

(تاریخ دریافت: ۹۶/۰۴/۲۲ - تاریخ پذیرش: ۹۶/۱۲/۱۳)

چکیده

لاله واژگون (*Fritillaria imperialis*) از جمله گیاهان دارویی و زینتی با ترکیبات دارویی متعدد می‌باشد که در طب سنتی استفاده می‌شود. استروئیدآلکالوئید به عنوان ترکیب مؤثر اصلی در این گیاه است که دارای خواص ضدتوموری، ضدآلرژی و خشی‌کننده اثر استیل کولین می‌باشد. در این مطالعه اسکوالن سنتاز (SQS) به عنوان ژن کلیدی در مسیر بیوسنتز استروئید آنکالوئیدها از داده‌های تنسکریپتوم حاصل از RNA-Seq لاله واژگون انتخاب شد. توالی این ژن شباهت معنی‌داری با توالی‌های ژن SQS گیاهان گلدار موجود در پایگاه اطلاعات داده‌های NCBI از طریق Blastx نظریه Blastx *Fritillaria thunbergii* و *Phoenix dactylifera* و *Fritillaria unibracteata* داشت. نتایج حاصل از انجام هم‌ردیفی با clustal w نشان داد که این توالی‌ها در نواحی حفاظت شده متنطبق بودند. نتایج تجزیه پرموتور نشان داد که پرموتور ژن SQS در لاله واژگون شامل عناصر پاسخ به نور، خشکی، جاسمونیک اسید، اکسین، عنصر پرموتوری هسته، تقویت کننده و سایر عناصر دیگر بود. حضور این عناصر تنظیمی نقش کلیدی در تنظیم بیان ژن در مراحل مختلف رشدی، پاسخ به محیط و تولید متابولیت ثانویه را نمایان می‌کند. تجزیه و تحلیل بیان ژن SQS در بافت‌های مختلف (برگ، پیاز، گلبرگ، کاسبرگ، تخمدان، بساک و میوه) در سه مرحله‌ی مختلف نموی (شامل مرحله طویل شدن ساقه، مرحله توسعه گل و مرحله پر شدن گل) ارزیابی شد. بالاترین میزان بیان ژن SQS در تخمدان، مرحله‌ی طویل شدن ساقه به دست آمد. بیان زیاد پتانسیل این ژن را در بهینه‌سازی تولید متابولیت ثانویه نشان می‌دهد. بررسی آماری نشان داد که اختلاف معنی‌داری در میزان بیان ژن SQS لاله واژگون در بافت‌ها و طی مراحل نموی مختلف وجود دارد.

واژه‌های کلیدی

استروئیدآلکالوئیدها

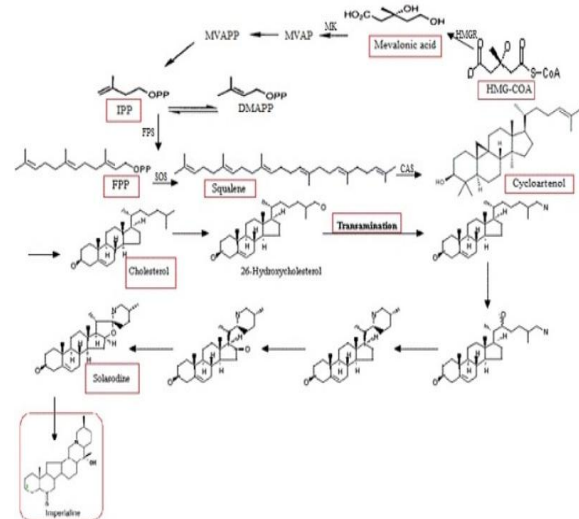
ژن اسکوالن سنتاز (SQS)

بیان ژن

لاله واژگون

اسکوالن سنتاز یک آنزیم غشایی است که نقش تنظیمی در مسیر بیوستر استروول‌ها ایفا می‌کند. کاهش فعالیت آنزیم SQS سبب سرکوب بیوستر استروول‌ها در محیط سوسپانسیونی حاوی الیستورهای قارچی می‌شود (Devarenne et al. 2002). بیان ژن‌ها ناشی از عناصر تنظیمی موجود در پروموتور می‌باشد. در سال‌های اخیر بررسی الگوی بیان ژن سبب شده کارایی گیاهان دارویی در جهت تولید دارو افزایش یابد. برخلاف اهمیت زیستی و دارویی لاله واژگون تحقیق ژنومی اندکی از جمله بررسی تنوع ژنتیکی در جمعیت لاله واژگون ناحیه زاگرس با استفاده از Badfar-) RAPDs و AFLPs SSR نشانگرهای مولکولی (Chaleshtori et al. 2012) و تجزیه و تحلیل ژنوم عظیم لاله به منظور تعیین خصوصیات حذفی DNA در سطح گستردگی در طول ژنوم صورت گرفته است (Kelly et al. 2015). از این رو در این تحقیق الگوی بیان ژن کلیدی SQS در لاله واژگون بررسی شد. با توجه به اهمیت این گیاه و لزوم بررسی دقیق ژن‌های کلیدی در تولید متابولیت‌های مهم آن به نظر می‌رسد که دستیابی به اطلاعات دقیق‌تر و کامل‌تر ژنومی، بررسی الگوی بیان، آنالیز پروموتور و بررسی عناصر تنظیمی موجود در پروموتور موثر در بیان ژن ضروری باشد. این یافته‌ها زمینه‌ای برای مطالعات ژنومیک عملکردی و مقایسه‌ای و ارتقای سطح محصولات فراهم می‌آورد. تخمین ژن‌های بیوستر در تنسکریپتوم لاله واژگون از طریق پایگاه داده‌های KEGG صورت گرفت. برنامه شناسایی در KOBA2.0 جهت تفسیر و شناسایی ژن مسیر استفاده شد. ژن اسکوالن سنتاز از داده‌های حاصل از RNA-Seq تنسکریپتوم لاله واژگون انتخاب شد (شماره دسترسی MG255776). بررسی شباهت سنجی ساختاری ژن مورد مطالعه با توالی ژنی دیگر گیاهان موجود در برنامه blastx پایگاه اطلاعات داده NCBI (www.ncbi.nlm.nih.gov) انجام شد و هم‌ردیفی با استفاده از نرم‌افزار آنلاین ClustalW صورت گرفت. هم‌چنین بررسی برهمکنش پروتئین‌ها در سایت ExPASY (www.ExPASY.org) انجام شد. برای آنالیز پروموتور ژن مذکور در مسیر بیوستر استروئید آکالولئیدها از ژنوم برنج به عنوان گیاهی تک لپای که تمام ژنوم آن توالی‌یابی شده استفاده شد. این ژن در مسیر بیوستر استروئید آکالولئیدها در برنج دخالت [Os03g0805100](#)

لاله واژگون (*Fritillaria imperialis*) یا اشک مریم از جمله ذخایر ارزشمند طبیعی و از ژئوفیت‌های زیستی، دارویی و بومی ایران است. این گیاه از زیر گروه تک‌لپه‌ها و یکی از ۲۲۰ جنس متعلق به خانواده لیلیاسه می‌باشد که مراحل عمده‌ی رشدی در لاله واژگون مرحله‌ی جوانه گل، مرحله‌ی رویشی، مرحله‌ی گل‌دهی و میوه‌دهی می‌باشد (Mustafa and Abdul-Razaq 2015). از *imperialis* برای درمان بیماری‌های مختلف از جمله گلو درد، سرفه، آسم، برونشیت، سل، تورم غدد لنفاوی گردن، اختلالات غدد تومور و سوزش ادرار استفاده می‌شود (Bailey 1966; Perry 1980 and Metzger 1980). استروئید آکالولئیدها ماده مؤثره اصلی در لاله واژگون می‌باشد (Akhtar et al. 2003). بیوستر استروئید آکالولئیدها یک روند عمومی مسیر سنتز استروئید یا تریترین را در گیاهان طی می‌کند (Cordell 2008). ترکیباتی از جمله استیل کوآنزیم آ، موالونیک اسید، ایزوپتیل پیروفسفات، فارنسیل پیروفسفات، اسکوالن سیسلوآرتینول و کلسترول در این مسیر وجود دارند که بسیاری از اکسیدازها، ایزومرازها و ترانسفرازها در تبدیل کلسترول به استروئید آکالولئیدها شرکت دارند (شکل ۱).

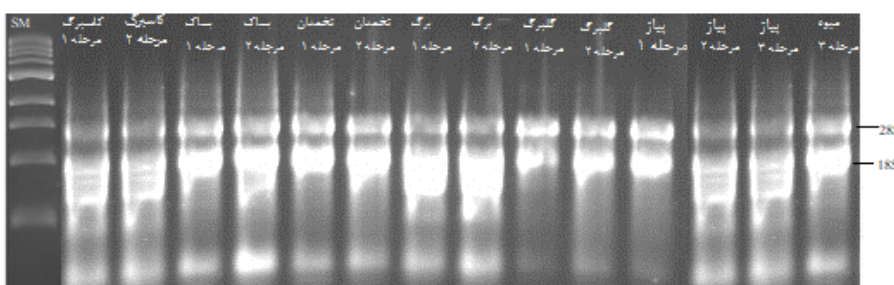


شکل ۱-۱- مسیر بیوستر استروئید آکالولئیدها در لاله واژگون با استفاده از KEGG. هیدروکسی متیل کوآنزیم آ (HMG)، موالونیک اسید (MA)، ایزوپتیل پیروفسفات (IPP)، فارنسیل پیروفسفات (FPP)، اسکوالن (squalene)، سیسلوآرتینول (cycloarteno) و کلسترول (cholesterol) و سلوندین (Solasodine) و امپریالین (imperialine) و اسکوالن (Solasonine) در لاله واژگون با استفاده از

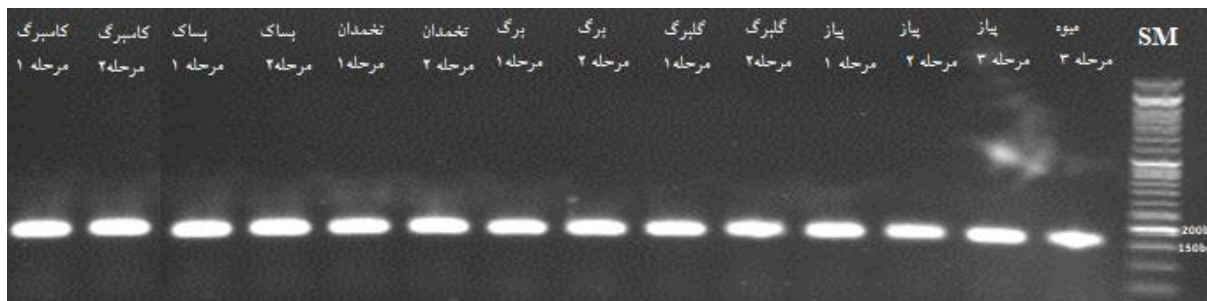
داده شد. توالی آغازگرهای اختصاصی مستقیم ۵'AGGGTCATGGACCAACAAA3' و معکوس ۵'GCATCCCCTTTATTCAGCA3' ۵ بود. در این تحقیق گلیسرآلدهید ۳-فسفات دهیدروژناز که بیشترین ثبات بیان را داشت به عنوان ژن کنترل داخلی جهت نرمال‌سازی ژن مورد بررسی استفاده شد. توالی آغازگرهای مستقیم و معکوس مربوط به GAPDH به ترتیب ۵'CTGACTTCAACAGCGACACC3' و qPCR با استفاده از مخلوط واکنش Takara Green حاوی SAYBR و آغازگر مربوط به ژن صورت گرفت. مخلوط واکنش در حجم کل ۱۲ میکرولیتر شامل دو میکرولیتر cDNA (diluted 1:2)، آغازگر رفت و برگشت هر کدام $0.8\mu\text{M}$ و مخلوط Takara Mix به میزان ۶ میکرولیتر بود و نمونه‌ها در دستگاه Roter-Gene Q (Qiagen) قرار داده شدند. چرخه دمایی استفاده شده در واکنش qPCR تحت شرایط ۹۵ درجه سانتی‌گراد در مدت ۳۰ ثانیه بهمنظر و اسرشت‌سازی اولیه، سپس ۹۵ درجه سانتی‌گراد برای ۵ ثانیه و ۶۰ درجه سانتی‌گراد یک دقیقه در ۴۰ سیکل انجام گرفت. محصولات PCR بر روی ژل آگارز ۱/۵ ادرصد و با safe stain مخصوص PCR برای آغاز ۵/۱ درصد و با رنگ‌آمیزی شدند (شکل ۳). برای آنالیز شدت بیان در بافت‌های مختلف از روش Comparative Quantitation (روشی برای مقایسه بین چند حالت) (McCurdy et al. 2008) (McCurdy et al. 2008) (Rotor-Gene software, Corbett) بیان برگ مرحله توسعه گل به عنوان کالیبراتور بافتی جهت مقایسه بین حالت‌های مختلف (دارای کمترین میزان بیان در بین بافت‌ها و مراحل نموی مختلف) استفاده شد.

دارد (به دلیل فقدان گونه نزدیک با لاله واژگون که توالی بابی ژنوم آن صورت گرفته باشد از برنج استفاده شد). بنابراین برای آنالیز پروموتور، توالی معادل ۲ کیلوباز بالا دست ژن‌های همردیف شده با ژنوم برنج استخراج شد. سپس این توالی‌ها برای بهدست آوردن عناصر تنظیم‌کننده و از طریق سایت Plant CARE مورد بررسی قرار گرفت.

نمونه‌برداری از بافت‌های مختلف لاله واژگون شامل بساک، تخمدان، گلبرگ، کاسبرگ، ساقه، برگ و پیاز صورت گرفت. این نمونه‌ها در سه مرحله نموی شامل طویل شدن ساقه (زمانی که ارتفاع گیاه حدود ۶ سانتی‌متر و به صورت روزت تازه از خاک بیرون زده بود)، مرحله توسعه گل و غنچه سالم، پر شدن دانه در ماههای فروردین و اردیبهشت سال ۱۳۹۵ از دست لاله واژگون کوهرنگ (مختصات: $8.22^{\circ}34'50''$ شمالی $6.24^{\circ}12'50''$ شرقی) جمع‌آوری شدند. نمونه‌ها تا زمان استفاده در فریزر -80°C نگهداری شدند. جداسازی RNA کل به روش TRIzol[®] (reagent) مطابق با دستورالعمل شرکت سازنده انجام شد (شکل ۲). بهمنظر ساخت رشته اول cDNA از ۲ میکروگرم RNA و 0.5 میکرولیتر آنزیم نسخه‌برداری معکوس thermo مورد استفاده شد. سپس نمونه‌ها به مدت ۱۰ دقیقه در دمای 25°C درجه سانتی‌گراد 60°C دقیقه در دمای 42°C درجه سانتی‌گراد و برای واکنش خاتمه به مدت ۱۰ دقیقه در دمای 70°C درجه سانتی‌گراد در دستگاه ترموسایکلر قرار داده شد. الگوی بیان ژن اسکوالن سنتاز به عنوان ژن کلیدی در مسیر بیوسنتر استروئید آکالولئیدها در بافت‌های مختلف لاله واژگون و در مراحل مختلف نموی با qPCR مورد بررسی قرار گرفت. بهمنظر طراحی آغازگر برای این ژن از نرمافزار آنلاین پرایمر^۳ (<http://primer3.ut.ee>) استفاده شد. پس از طراحی، آغازگر جهت سنتز به شرکت ماکروژن کره سفارش



شکل ۲- ژل الکتروفورز مربوط به استخراج RNA در بافت‌های مختلف کاسبرگ، بساک، تخمدان، برگ، گلبرگ، پیاز و میوه سه مرحله نموی لاله واژگون



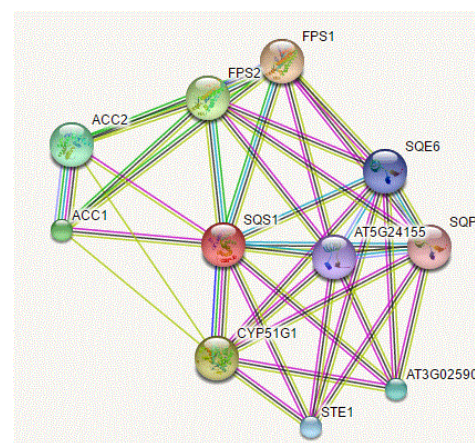
شکل ۳- ژل الکتروفورز محصولات PCR مربوط به ژن *SQS* در بافت‌های مختلف سه مرحله‌ی نموی لاله واژگون (اندازه محصول ۱۷۷ bp).

ژن *SQS* در بسیاری از گیاهان از جمله *Fritillaria thunbergii* و *Elaeis guineensis* در پایگاه اطلاعات داده NCBI (www.ncbi.nlm.nih.gov) از طریق Blastx شناسایی و جداسازی شده است. مقایسه توالي مربوط به ژن *SQS* در این گیاهان که از رکوردهای اولیه حاصل از Blastx با $E\text{-value cut off} > 10^{-5}$ (بیش از ۸۰ درصد) انتخاب شدند با لاله واژگون، همولوژی بالای (بیش از ۵۰%) نشان داد که این توالي‌ها در نواحی حفاظت شده با clustal w نشان داد که این توالي‌ها در نواحی حفاظت شده منطبق بودند و اختلافات موجود مربوط به نواحی غیر کننده بود (شکل ۴). نتایج حاصل از بررسی پروموموتور ژن *SQS* وجود تعداد متعددی عناصر تنظیمی با نقش‌های متفاوت را در این گیاه نمایان نمود (جدول ۱).

<i>Fritillaria unibracteata</i>	MGHMKKEALMHPELDLYLVVKMKRAAAQVEKQIIPDPHNAFCYTMQLQKVSRSPAFV1QQGLGT
<i>Fritillaria thunbergii</i>	MGHMKKEALMHPELDLYLVVKMKRAAAQVEKQIIPDPHNAFCYTMQLQKVSRSPAFV1QQGLGT
<i>Fritillaria imperialis</i>	MGHMKKEALMHPELDLYLVVKMKRAAAQVEKQIIPDPHNAFCYTMQLQKVSRSPAFV1QQGLGT
<i>Phoenix dactylifera</i>	MHLGAIZNEPEELYLPLVKMKAARLQTQPGEEVATVYVYDQVSRSPAFV1QQGLGT
<i>Elaeis guineensis</i>	MHLGAIZNEPEELYLPLVKMKAARLQTQPGEEVATVYVYDQVSRSPAFV1QQGLGT
<i>Fritillaria unibracteata</i>	DLRNQAVFVFLVLRA LDTEVGDTSIPE01KVPILESFHRIVYNPDNHPSCTKDYKV1LID
<i>Fritillaria thunbergii</i>	DLRNQAVFVFLVLRA LDTEVGDTSIPE01KVPILESFHRIVYNPDNHPSCTKDYKV1LID
<i>Fritillaria imperialis</i>	DLRNQAVFVFLVLRA LDTEVGDTSIPE01KVPILESFHRIVYNPDNHPSCTKDYKV1LID
<i>Phoenix dactylifera</i>	KHVYSTAFLLELGASVQQAIEDTIRKNGAG@AKFICKEVETVDDYDECHYVAGLVGLGL
<i>Elaeis guineensis</i>	KHVYSTAFLLELGASVQQAIEDTIRKNGAG@AKFICKEVETVDDYDECHYVAGLVGLGL
<i>Fritillaria unibracteata</i>	FRINESTAFLELGKS/QEIGIEDITERGRGM@AKFICKEVETVDDYDECHYVAGLVGLGL
<i>Fritillaria thunbergii</i>	FRINESTAFLELGKS/QEIGIEDITERGRGM@AKFICKEVETVDDYDECHYVAGLVGLGL
<i>Fritillaria imperialis</i>	FRINESTAFLELGKS/QEIGIEDITERGRGM@AKFICKEVETVDDYDECHYVAGLVGLGL
<i>Phoenix dactylifera</i>	KFHVYSTAFLLELGASVQQAIEDTIRKNGAG@AKFICKEVETVDDYDECHYVAGLVGLGL
<i>Elaeis guineensis</i>	KFHVYSTAFLLELGASVQQAIEDTIRKNGAG@AKFICKEVETVDDYDECHYVAGLVGLGL
<i>Fritillaria unibracteata</i>	SKLFYASGSDELAEDHLSNSMGLFLQKTNIIIRDYLEDINEIKSRM#WPRAINSKVVKDL
<i>Fritillaria thunbergii</i>	SKLFHASGSDELAEDHLSNSMGLFLQKTNIIIRDYLEDINEIKSRM#WPRAINSKVVKDL
<i>Fritillaria imperialis</i>	SKLFHASGSDELAEDHLSNSMGLFLQKTNIIIRDYLEDINEIKSRM#WPRAINSKVVKDL
<i>Phoenix dactylifera</i>	SKLFHASGLEELAPD5LSNSMGLFLQKTNIIIRDYLEDINEIKSRM#WPRAINSKVYASKL
<i>Elaeis guineensis</i>	SKLFHASGLEELAPD5LSNSMGLFLQKTNIIIRDYLEDINEIKSRM#WPRAINSKVYASKL
<i>Fritillaria unibracteata</i>	EDLKVKENSTQAVGCKLNDMVTNALLHAQDQCLKYLSLDKLNSRFECAIPQJMAIGTLALC
<i>Fritillaria thunbergii</i>	EDLKVKENSTQAVGCKLNDMVTNALLHAQDQCLKYLSLDKLNSRFECAIPQJMAIGTLALC
<i>Fritillaria imperialis</i>	EDLKVKENSTQAVGCKLNDMVTNALLHAQDQCLKYLSLDKLNSRFECAIPQJMAIGTLALC
<i>Phoenix dactylifera</i>	EDLQVEENSTQAVGCKLNDMVTNALLHAQDQCLKYLSLDKLNSRFECAIPQJMAIGTLALC
<i>Elaeis guineensis</i>	EDLQVEENSTQAVGCKLNDMVTNALLHAQDQCLKYLSLDKLNSRFECAIPQJMAIGTLALC
<i>Fritillaria unibracteata</i>	YINVIEIPRGVVKMRRGVVARVMQDTRTMSDVGAFEFSSLLSKSIODNNDPNAHLTRRI
<i>Fritillaria thunbergii</i>	YINVIEIPRGVVKMRRGVVARVMQDTRTMSDVGAFEFSSLLSKSIODNNDPNAHLTRRI
<i>Fritillaria imperialis</i>	YINVIEIPRGVVKMRRGVVARVMQDTRTMSDVGAFEFSSLLSKSIODNNDPNAHLTRRV
<i>Phoenix dactylifera</i>	YINVIEIPRGVVKMRRGLTARVIIQDTRTMSDVGAFEFSSLLSKSIODNNDPNAHLTRRV
<i>Elaeis guineensis</i>	YINVIEIPRGVVKMRRGLTARVIIQDTRTMSDVGAFEFSSLLSKSIODNNDPNAHLTRRV
<i>Fritillaria unibracteata</i>	EAIQNSCVKGMLNKRGHMVRSPSPANSVYIIALLLVLVSLFAVIATK
<i>Fritillaria thunbergii</i>	EAIQNSCVKGMLNKRGHMVRSPSPANSVYIIALLLVLVSLFAVIATK
<i>Fritillaria imperialis</i>	EAIQNSCVKGMLNKRGHMVRSPSPANSVYIIALLLVLVSLFAVIATK
<i>Phoenix dactylifera</i>	EAIHKACISGGLNKRGHMIVYESK-SYNSVLVVLVLLVSPVIFAILSTK
<i>Elaeis guineensis</i>	EAIHKACISGGLNKRGHMIVYESK-SYNSVLVVLVLLVSPVIFAILSTK

شکل ۵- هم‌دیگری ژن اسکوالن ستتاز در لاله واژگون با *Fritillaria unibracteata*, *Phoenix dactylifera*, *Fritillaria thunbergii* و *Elaeis guineensis*

جهت مقایسه بافت‌های مختلف و در مراحل مختلف نموی از روش مقایسه میانگین دانکن با در نظر گرفتن سطح معنی‌داری ۰/۰۵ از نرم‌افزار STATISTICA استفاده شد. در واقع تولید متابولیت ثانویه در نتیجه همکاری چند ژن در مسیر بیوستز استروئیدآلکالوئیدها می‌باشد که ژن اسکوالن ستتاز نقش مهمی در این مسیر ایفا می‌کند. بررسی برهم کنش پروتئینی در سایت ExPASY نشان می‌دهد که ژن *SQS* محصول ژن *FPS* است. در واقع *FPS* سوبسترات *FPP* را برای اسکوالن ستتاز (*SQS*) فراهم می‌آورد (Tholl and Sungbeon 2011). با توجه به نقش *CYP51G1* در هیدروکسیله کردن استروئیدها در آرایدوپسیس (Choe et al. 1998) پیش‌بینی می‌شود که محصول ژن *SQS* توسط *CYP51G1* در مسیر بیوستز استروئیدآلکالوئیدها در لاله واژگون هیدروکسیله شود. بررسی برهم کنش پروتئینی حضور ژن‌های شناخته شده‌ای نظیر *ACC* و *SQP* نشان می‌دهد که در ستز انواع استرول‌های گیاهی دخیل می‌باشند (شکل ۴).



شکل ۴- برهمکنش پروتئینی پیش‌بین شده برای ژن *SQS* در مسیر بیوستز استروئیدها از طریق سایت ExPASY.org (www.ExPASY.org)

عناصر تنظیمی موجود در پروموتور ژن مذکور قابل توجه است. بنابراین این عوامل می‌توانند روی بیان ژن اسکوالن سنتاز مؤثر باشد. نتایج حاکی بر وجود عناصر تنظیمی متصل شونده به MYB از جمله MBS می‌باشد که MYB از جمله پروتئین‌های تنظیمی مهم است که در فرآیندهای مختلفی مانند فرآیندهای رشد و نمو، پاسخ به تنش‌های زیستی و غیر زیستی، تمایز و فرآیندهای متابولیسمی به‌ویژه در تولید متابولیت ثانویه دخیل می‌باشد (Ambawat et al. 2013). همچنین عمده‌ترین عنصر تنظیمی مربوط به TATA-box از جمله عناصر پروموتوری هسته‌ای، فعال در نظر گرفته می‌شود (Yang et al. 2007).

مطالعات نشان داد که نور از جمله عوامل محیطی مهم در تنظیم بیان ژن می‌باشد. همچنین عناصر تنظیمی در پاسخ به تنش‌های محیطی نظیر خشکی و نیز موตیف‌های تنظیم‌کننده متعددی مانند GT1-motif, G-box, G-Box و AAGAA-motif به عنوان عناصر پاسخ‌دهنده به واکنش‌های نوری در پروموتور ژن مورد مطالعه حضور دارند. نظر به اهمیت هورمون‌های گیاهی در کنترل شرایط رشد و نمو در شرایط مختلف محیطی و تولید متابولیت‌های ثانویه مثل استروئید آلالوئیدها (Mahalakshmi et al. 2013)، حضور موتیف‌های تنظیمی پاسخ‌دهنده به هورمون‌های گیاهی از جمله موتیف‌های ABRE (پاسخ‌دهنده به آبسزیک اسید)، TGA-element (عنصر P-box (عنصر پاسخ جیبرلین) در بررسی پاسخ دهنده به اکسین)،

جدول ۱- پیش‌بینی عناصر تنظیمی در پروموتور ژن *SQS* در لاله واژگون با استفاده بانک اطلاعاتی Plant CARE.

تعداد موتیف	عملکرد موتیف	توالی	نام عنصر تنظیمی
۱	دارای سطح رونویسی بالا	TTTCTTCTCT	5UTR Py-rich stretch
۳	-	GAAAGAA	AAGAA-motif
۲	عنصر پاسخ‌دهنده به آبسزیک اسید	GCCGCGTGGC, TAC GTG	ABRE
۱	عنصر تنظیمی پاسخ به نور	ACTACGTGG	ACE
۲	عنصر تنظیمی ضروری برای القای هوازی	TGGTTT	ARE
۲	بخشی از ناحیه محافظت شده DNA دخیل در پاسخ نوری	AATCTAACCC	ATCT-motif
۱	عنصر پاسخ به نور	TTTCAAA	Box I
۲۱	عنصر رایج در پروموتور و ناحیه تقویت کننده	CAAAT	CAAT-box
۲	نایه اتصال MYBHv1	CAACGG	CCAAT-box
۱	عنصر تنظیمی دخیل در پاسخ متیل جاسمونات	CGTCA	CGTCA-motif
۱	-	ACTAGCAGAA	CTAG-motif
۱	عنصر تنظیمی دخیل در پاسخ نوری	CACGTA	G-Box
۴	عنصر تنظیمی دخیل در پاسخ نوری	CACGAC, TACGTG, GTACGTG, CACGAC	G-box
۱	عنصر پاسخ نوری	AATCCACA	GT1-motif
۲	اتصال به ناحیه MYB دخیل در القای خشکی	TAACTG, CAACTG	MBS
۱	عنصر پاسخ نوری	GTGCC(A/T)(A/T)	MNFI
۳	اتصال به ناحیه MYB دخیل در پاسخ نوری	AACCTAA	MRE
۱	عنصر پاسخ جیبرلین	CCTTTG	P-box
۱	عنصر پاسخ نوری	CC(G/A)CCC	Sp1
۲	تقویت کننده	TATATATATATATATATATA	TA-rich region
۱۰۱	عنصر پرموتوری هسته‌ای	TATAAAT, TTTTA, TATATAA	TATA-box
۲	عنصر پاسخ‌دهنده به اکسین	AACGAC	TGA-element
۱	عنصر تنظیمی پاسخ نوری	TGACG	TGACG-motif
۳	-	CGTGG	Unnamed_1
۱	-	TCCAAGTATA	Unnamed_13
۳	-	CGTGG	Unnamed_3
۱۴	-	CTCC	Unnamed_4

حفظی این ترکیبات و برهمکنش گیاه و پاتوژن‌ها باشد. نتایج مربوط به بیان متفاوت ژن *SQS* در مسیر بیوسنتر استروئیدها در بافت‌های مختلف *Euphorbia pekinensi*, *Solanum nigrum*, *Dioscorea zingiberensis* و *Tubakko* توسط محققان بررسی شده است (Sun et al. 2012; zheng et al. 2002; Devarenne et al. 2013; Ye et al. 2014). همچنین بیان متفاوت این ژن در مراحل مختلف رویشی در مشخص شده است (Winter et al. 2007) و در لاله واژگون نیز در تخدمان به عنوان بافت زایشی بیشترین بیان مشاهده شد. بیان هزار برابر *SQS* در تخدمان در مرحله توسعه گل می‌تواند پتانسیل این ژن را در مهندسی متابولیت ثانویه جهت تولید پیش‌سازهای استروئیدی در مسیر بیوسنتر استروئید آکالولوئیدها نسبت به سایر بافت‌ها در مراحل نموی مختلف نشان دهد. مطالعات مربوط به بررسی آنزیمهای دخیل در مسیر بیوسنتر متابولیت‌های ثانویه و افزایش بیان ژن‌ها گامی مهم در طراحی استراتژی‌های هدف‌دار جهت افزایش تولید متابولیت ثانویه در گیاهان دارویی می‌باشد بهویشه در لاله واژگون که به عنوان یکی از ژئوفیت‌های دارویی و بومی ایران شناخته می‌شود. همچنین این مطالعات می‌تواند رهنمودی هدفمند برای مهندسی متابولیت و مطالعات ژنومیک عملکردی و مقایسه‌ای تلقی شود.

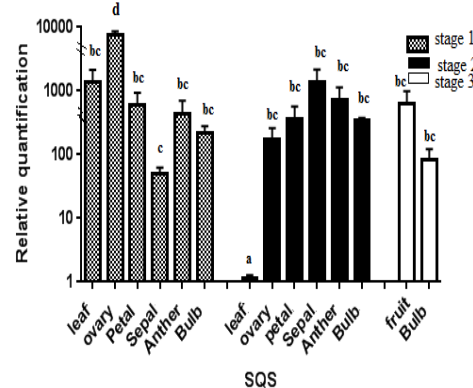
سپاسگزاری

از دانشگاه شهرکرد برای فراهم نمودن بخشی از هزینه‌های این تحقیق کمال تشکر را داریم.

منابع

Akhtar MN, Choudhary MI, Sener B, Erdogan I and Tsuda Y (2003). New class of steroid alkaloids from *Fritillaria imperialis*. *Phytochemistry* 63:115-122.

نتایج حاصل از qPCR در لاله واژگون برای ژن *FiSQS* نشان داد که افزایش بیان قابل توجه در بافت تخدمان مرحله طویل شدن ساقه در بین تمام بافت‌ها سه مرحله نموی وجود دارد. همچنین کمترین بیان در بافت برگ مرحله توسعه گل نسبت به سایر بافت‌ها و مراحل نموی مختلف مشاهده شد. نتایج مقایسه میانگین دانکن نشان داد که در بافت پیاز در سه مرحله نموی اختلاف معنی‌داری وجود ندارد. همچنین بساک و گلبرگ در مرحله طویل شدن ساقه و توسعه گل نیز اختلاف معنی‌داری نشان ندادند. در مرحله پر شدن دانه بین بافت‌های میوه و پیاز اختلاف معنی‌داری مشاهده نشد. اما بافت‌های برگ، کاسبرگ و تخدمان در مرحله طویل شدن ساقه و توسعه گل اختلاف معنی‌داری نشان دادند (شکل ۶).



شکل ۶- الگوری بیان ژن *FiSQS* در بافت‌های مختلف تخدمان، بساک، میوه، برگ، گلبرگ، کاسبرگ و پیاز سه مرحله نموی گیاه لاله واژگون با مقایسه میانگین آزمون دانکن در سطح احتمال پنج درصد

بررسی آماری میزان بیان ژن در گیاه لاله واژگون بیانگر بیان متفاوت در بافت‌های مختلف و طی مراحل نمو بود. تفاوت بیان در بافت‌های مختلف در گیاهان ممکن است مربوط به ماهیت، وظیفه، عملکرد بافت، نقش در مسیرهای تمایزی، نموی و

Ambawat S, Sharma P, Yadav NR, and Yadav RC (2013) MYB transcription factor genes as regulators for plant responses. *Physiology and Molecular Biology of Plants* 19:307-321.

Badfar-Chaleshtori S, Shiran B, Kohgard M, Mommeni H, Hafizi A, Khodambashi M, Mirakhorli N and Sorkheh K. (2012). Assessment of genetic diversity and structure of Imperial Crown (*Fritillaria imperialis L.*) populations in the Zagros region of Iran using AFLP, ISSR and RAPD markers and implications for its conservation. Biochemical Systematics and Ecology 42: 35-48.

Bailey LH (1966) Manual of cultivated plants. Mac Millan Company. New York 218-219.

Cordell GA (2008) The alkaloids: chemistry and biology. Academic Press, California, USA 109-144.

Devarenne TP, Ghosh A and Chappell J (2002) Regulation of squalene synthase, a key enzyme of sterol biosynthesis, in *tobacco*. Plant Physiology 129:1095-1106.

Kelly LJ, Renny-Byfield S, Pellicer J, Macas J, Novák P, Neumann P, Lysak MA, Day PD, Berger M, Fay MF and Nichols RA (2015) Analysis of the giant genomes of *Fritillaria* (Liliaceae) indicates that a lack of DNA removal characterizes extreme expansions in genome size. New Phytologist 208:596-607.

Mahalakshmi R, Eganathan P, Parida A (2013) Salicylic acid elicitation on production of scondray metabolite by cell cultures of *Jatropha curcas* L. 5:655-659

McCurdy RD, McGrath JJ and Mackay-Sim A (2008) Validation of the comparative quantification method of real-time PCR analysis and a cautionary tale of housekeeping gene selection. Gene Molecular Biology 12:15-24.

Mustafa LH, Abdul-Razaq RT (2015) A Comparative Systematic Study of the Genus *Fritillaria* L. (Liliaceae) in Iraqi Kurdistan Region. Advances in Bioresearch 6:14-24.

Perry LM, Metzger J (1980) Medicinal plants of east and south-east Asia: attributed properties and uses.

Massachusetts Institute of Technology Press, Cambridge, Massachusetts, USA 236-237.

Sun Y, Zhao Y, Wang L, Lou H, Cheng A (2012) Cloning and expression analysis of squalene synthase, a key enzyme involved in antifungal steroidal glycoalkaloids biosynthesis from *Solanum nigrum*. Drug Discoveries and Therapeutics 6:242-248.

Tholl D, Sungbeon L (2011) Terpene specialized metabolism in *Arabidopsis thaliana*. The *Arabidopsis* Book. The American Society of Plant Biologists Press. Washington, USA 143-146.

Winter D, Vinegar B, Nahal H, Ammar R, Wilson G.V and Provart N.J (2007) An "Electronic Fluorescent Pictograph" browser for exploring and analyzing large-scale biological data sets. PloS One 2:718-725.

Yang, C, Bolotin E, Jiang T, Sladek F.M, Martinez E (2007) Prevalence of the initiator over the TATA box in human and yeast genes and identification of DNA motifs enriched in human TATA-less core promoters. Gene Journal 389:52-65.

Ye Y, Wang R, Jin L, Shen J Li X, Yang T, Zhou M, Yang Z, Chen Y (2014) Molecular cloning and differential expression analysis of a squalene synthase gene from *Dioscorea zingiberensis*, an important pharmaceutical plant. Molecular Biology Reports 41:6097-6104.

Zheng Z, Cao X, Li C, Chen Y, Yuan B, Xu Y, Jiang J (2013) Molecular cloning and expression analysis of a squalene synthase gene from a medicinal plant *Euphorbia pekinensis* Rupr. Acta Physiologiae Plantarum 35:3007-3014.